

Chapitre VI-1/*Chapter VI-1*

Analyse des sous-populations
de souches selon leur niveau de sensibilité
(informations de type 1)

*Sub-population analysis of isolates
according to their susceptibility level
(type 1 information)*

Figures 1.1 à 1.21/*Figures 1.1 to 1.21*
Tableaux 1.1 à 1.3/*Tables 1.1 to 1.3*

Dans les figures suivantes, la valeur de diamètre 36 mm correspond en fait à ≥ 36 mm. En effet, 36 mm est souvent la valeur maximale mesurée par les caméras ou entrée dans les systèmes de gestion des laboratoires.

D et d représentent les valeurs supérieures et inférieures des diamètres critiques.

In the following Figures, the 36 mm diameter value corresponds to ≥ 36 mm. Indeed, 36 mm is often the highest value given by automatic cameras or recorded in laboratory information systems.

D and d represent the high and low critical values of diameters.

Figure 1.1
Escherichia coli (893 souches) :
 distribution des diamètres d'inhibition pour l'amoxicilline, souches isolées de bactériémies

Escherichia coli (893 strains):
 distribution of inhibition zone diameters for amoxicillin; strains isolated from bacteraemia (Réseau AZAY-Résistance, 2007).
 Cf. Tableau 1.1

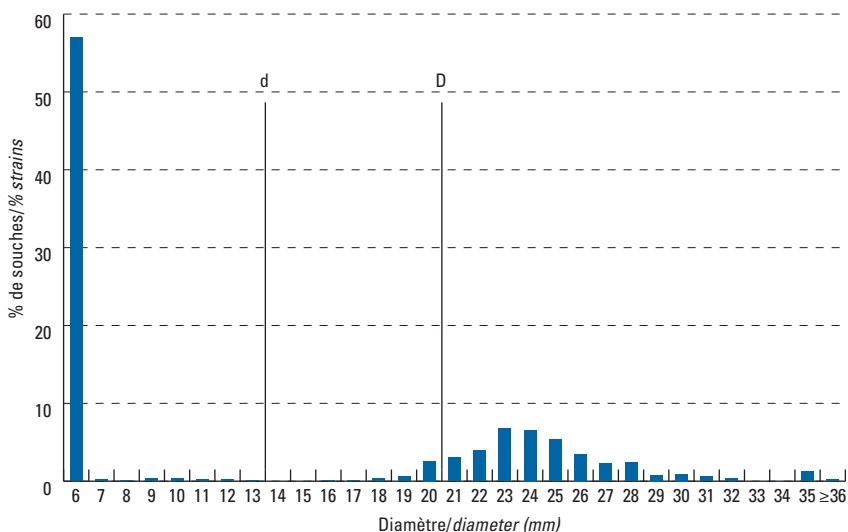


Figure 1.2
Escherichia coli (887 souches) :
 distribution des diamètres d'inhibition pour l'association amoxicilline-clavulanate, souches isolées de bactériémies

Escherichia coli (887 strains):
 distribution of inhibition zone diameters for amoxicillin-clavulanate; strains isolated from bacteraemia (Réseau AZAY-Résistance, 2007).
 Cf. Tableau 1.1

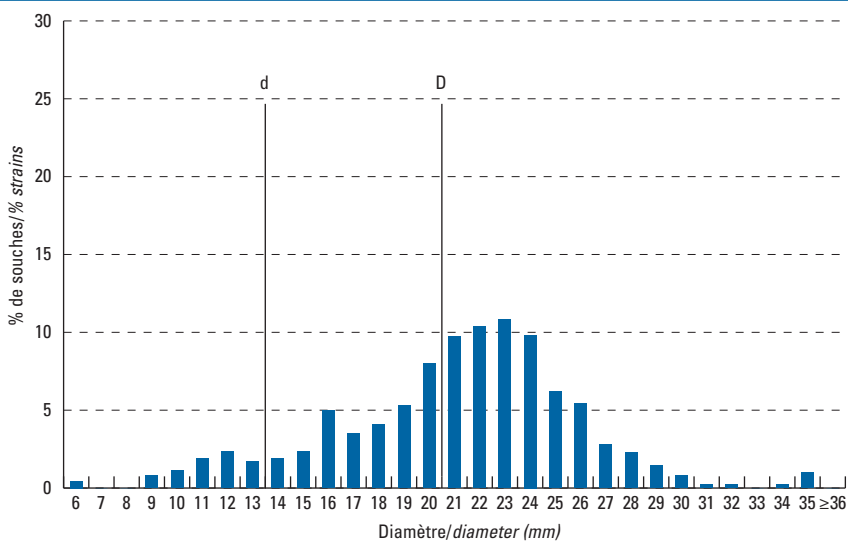


Figure 1.3
Escherichia coli (884 souches) :
 distribution des diamètres d'inhibition pour le céfotaxime, souches isolées de bactériémies

Escherichia coli (884 strains):
 distribution of inhibition zone diameters for cefotaxime; strains isolated from bacteraemia (Réseau AZAY-Résistance, 2007).
 Cf. Tableau 1.1

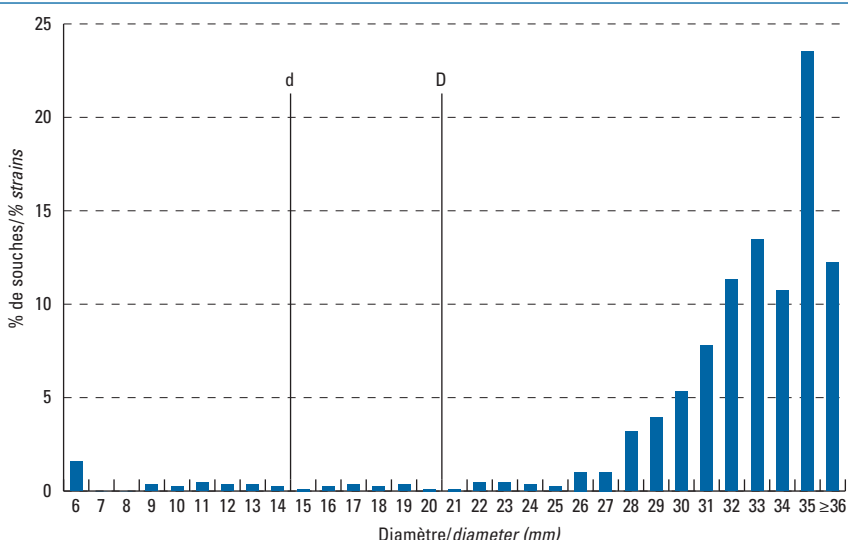


Figure 1.4
Escherichia coli (874 souches) :
 distribution des diamètres d'inhibition
 pour l'imipénème,
 souches isolées de bactériémies

Escherichia coli (874 strains): distribution of inhibition zone diameters for imipenem; strains isolated from bacteraemia (Réseau AZAY-Résistance, 2007). Cf. Tableau 1.1

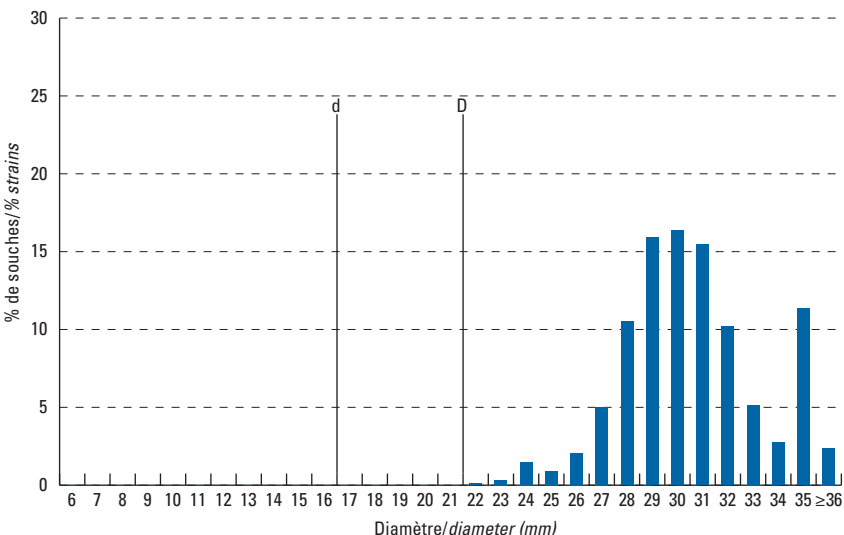


Figure 1.5
Escherichia coli (553 souches) :
 distribution des diamètres d'inhibition
 pour l'acide nalidixique,
 souches isolées de bactériémies

Escherichia coli (553 strains): distribution of inhibition zone diameters for nalidixic acid; strains isolated from bacteraemia (Réseau AZAY-Résistance, 2007). Cf. Tableau 1.1

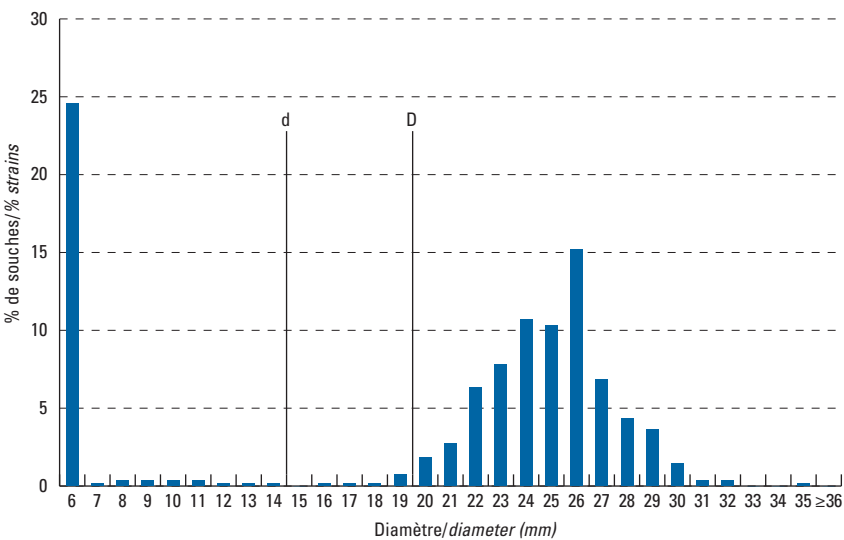


Figure 1.6
Escherichia coli (884 souches) :
 distribution des diamètres d'inhibition
 pour la gentamicine,
 souches isolées de bactériémies

Escherichia coli (884 strains): distribution of inhibition zone diameters for gentamicin; strains isolated from bacteraemia (Réseau AZAY-Résistance, 2007). Cf. Tableau 1.1

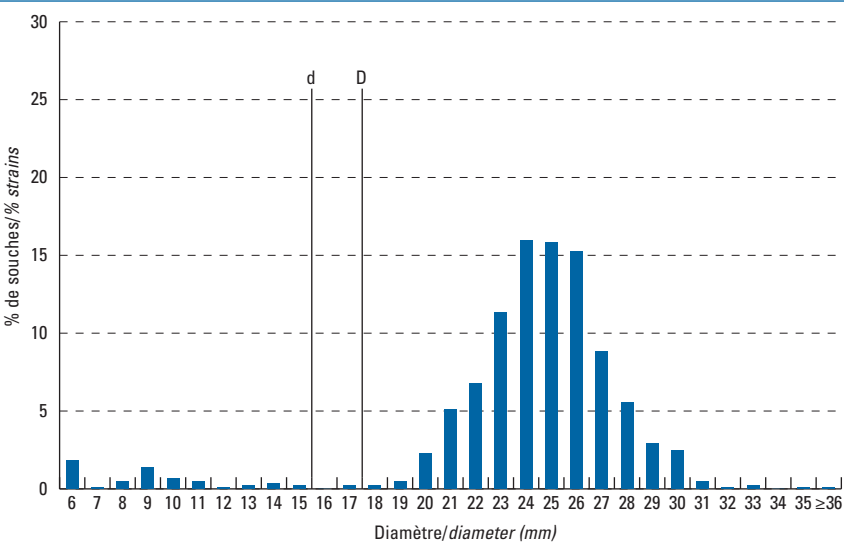


Figure 1.7
Escherichia coli (886 souches) :
 distribution des diamètres d'inhibition pour la ciprofloxacine, souches isolées de bactériémies

Escherichia coli (886 strains):
 distribution of inhibition zone diameters for ciprofloxacin; strains isolated from bacteraemia (Réseau AZAY-Résistance, 2007).
 Cf. Tableau 1.1

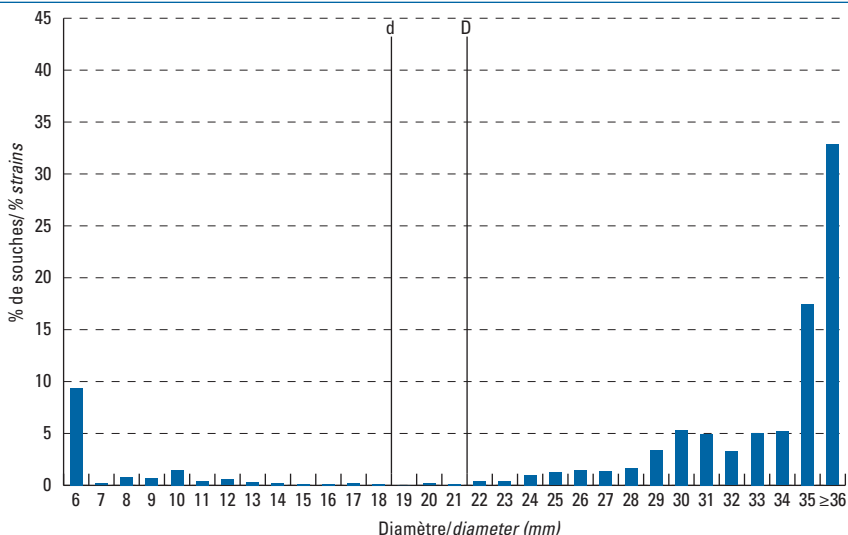


Figure 1.8
Escherichia coli (398 souches) :
 distribution des diamètres d'inhibition pour la ciprofloxacine sur les souches sensibles à l'acide nalidixique, souches isolées de bactériémies

Escherichia coli (398 strains): distribution of inhibition zone diameters for ciprofloxacin on strains susceptible to nalidixic acid; strains isolated from bacteraemia (Réseau AZAY-Résistance, 2007).
 Cf. Tableau 1.1

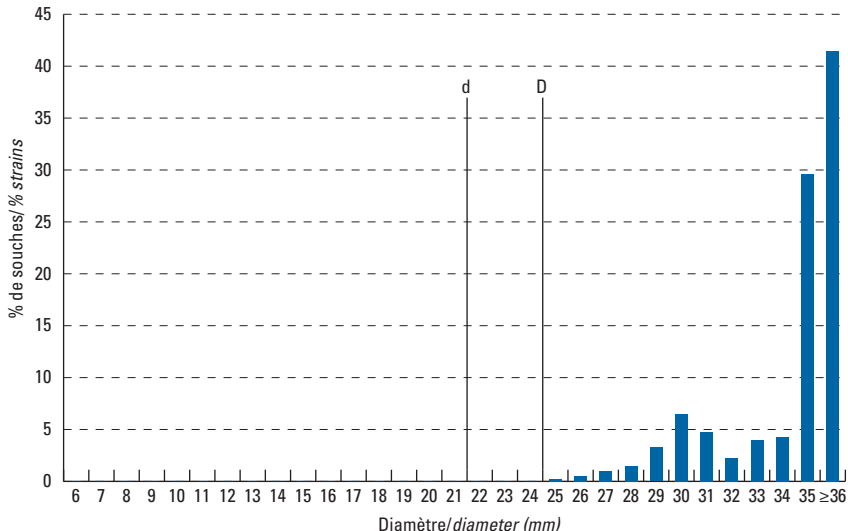


Figure 1.9
Escherichia coli (149 souches) :
 distribution des diamètres d'inhibition pour la ciprofloxacine sur les souches intermédiaires ou résistantes à l'acide nalidixique, souches isolées de bactériémies

Escherichia coli (149 strains): distribution of inhibition zone diameters for ciprofloxacin on nalidixic acid non-susceptible strains (I+R); strains isolated from bacteraemia (Réseau AZAY-Résistance, 2007).
 Cf. Tableau 1.1

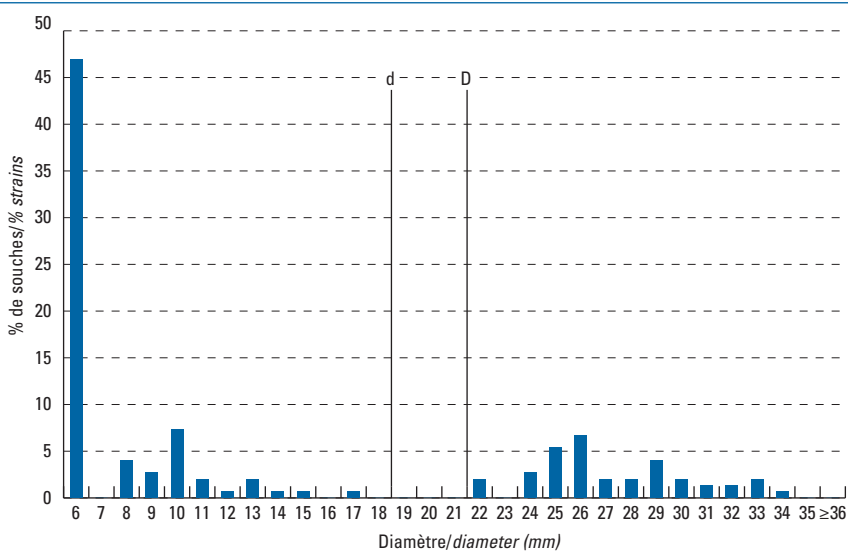


Figure 1.10
Escherichia coli (326 souches) :
distribution des diamètres d'inhibition pour amoxicilline-clavulanate sur les souches sensibles à l'amoxicilline, souches isolées de bactériémies

Escherichia coli (326 strains):
distribution of inhibition zone diameters for amoxicillin-clavulanate on strains susceptible to amoxicillin; strains isolated from bacteraemia (Réseau AZAY-Résistance, 2007).
Cf. Tableau 1.1

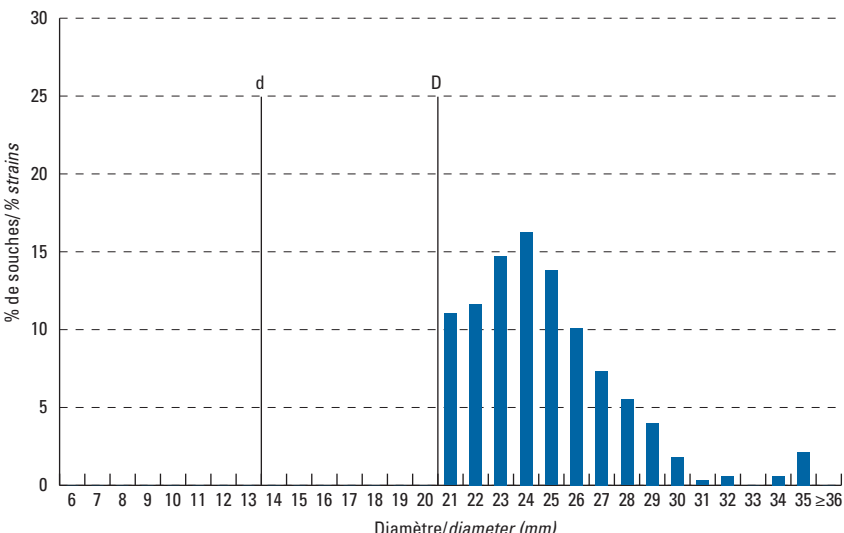


Figure 1.11
Escherichia coli (546 souches) :
distribution des diamètres d'inhibition pour amoxicilline-clavulanate sur les souches non sensibles à l'amoxicilline (I+R), souches isolées de bactériémies

Escherichia coli (546 strains):
distribution of inhibition zone diameters for amoxicillin-clavulanate on amoxicillin-non susceptible strains (I+R); strains isolated from bacteraemia (Réseau AZAY-Résistance, 2007).
Cf. Tableau 1.1

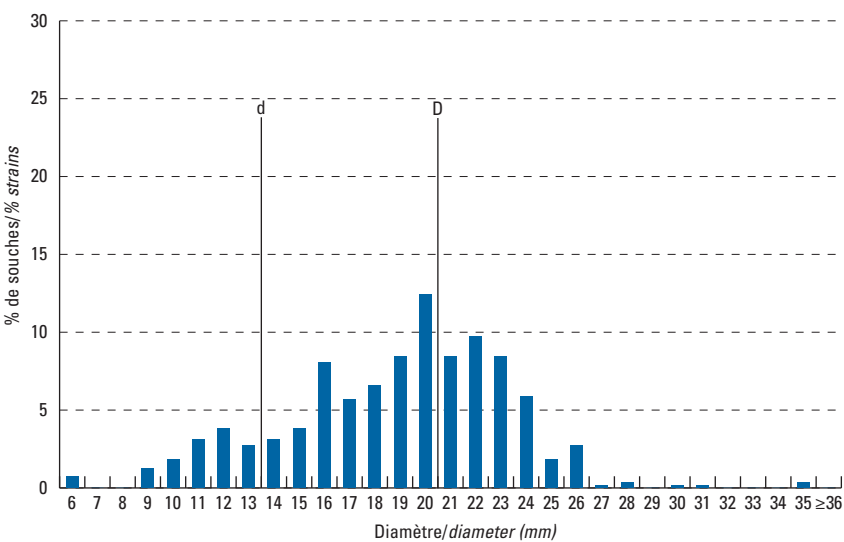


Figure 1.12
Escherichia coli (598 souches) :
distribution des diamètres d'inhibition pour le cotrimoxazole

Escherichia coli (598 strains):
distribution of inhibition zone diameters for cotrimoxazole; strains isolated from bacteraemia (Réseau AZAY-Résistance, 2007).
Cf. Tableau 1.1

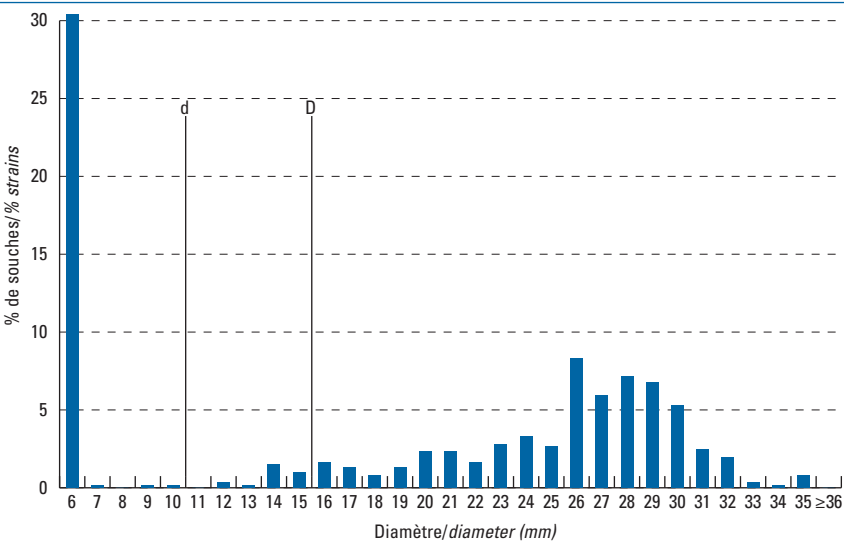


Figure 1.13
Escherichia coli (1 827 souches): distribution des diamètres d'inhibition pour l'amoxicilline, souches isolées de bovins

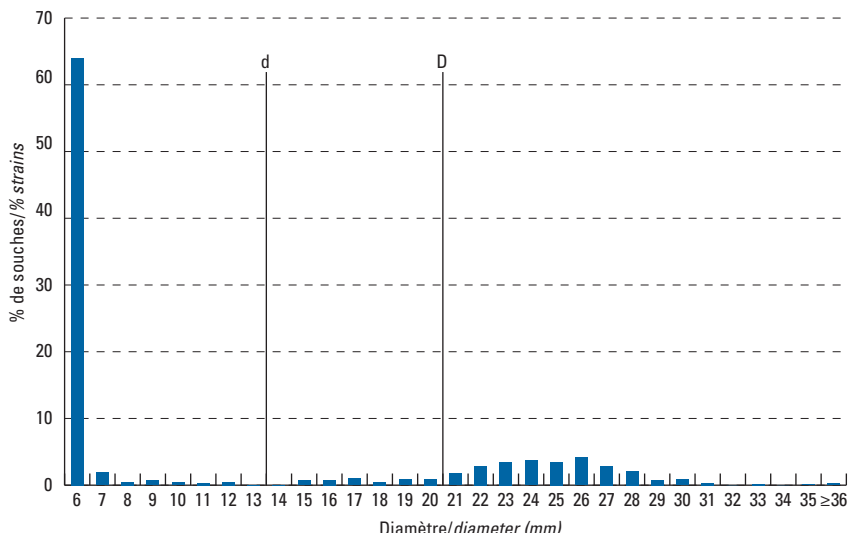


Figure 1.14
Escherichia coli (2 227 souches): distribution des diamètres d'inhibition pour l'association amoxicilline-clavulanate, souches isolées de bovins

Escherichia coli (2 227 souches): distribution of inhibition zone diameters for amoxicillin-clavulanate; strains isolated from bovines (Réseau RESAPATH, 2007). Cf. Tableau 1.2

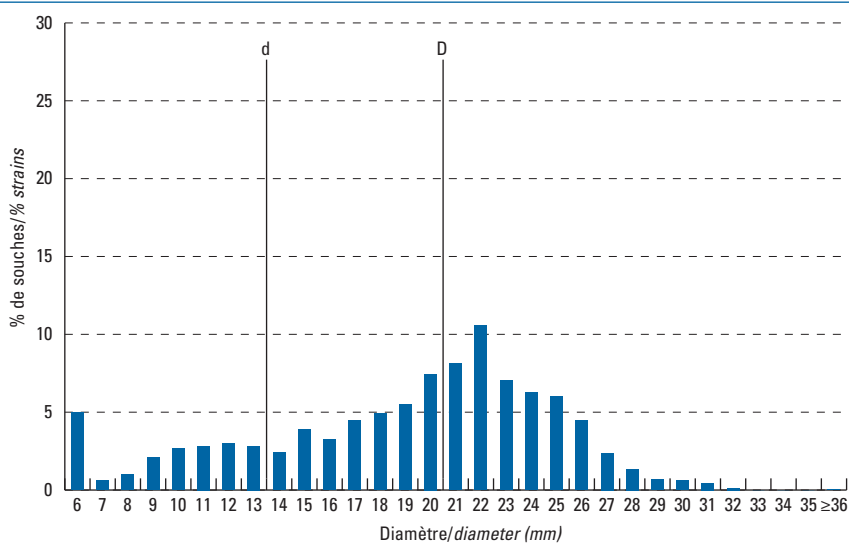


Figure 1.15
Escherichia coli (2 198 souches): distribution des diamètres d'inhibition pour le ceftiofur, souches isolées de bovins

Escherichia coli (2 198 souches): distribution of inhibition zone diameters for ceftiofur; strains isolated from bovines (Réseau RESAPATH, 2007). Cf. Tableau 1.2

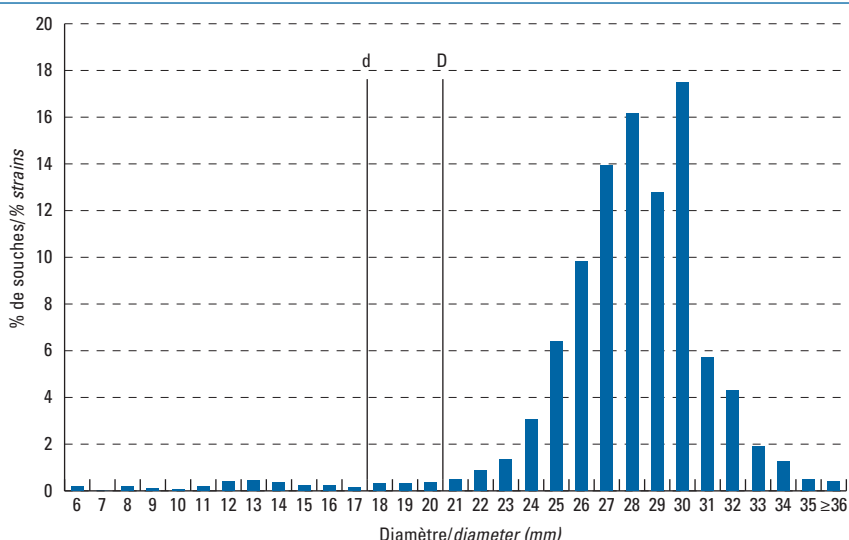


Figure 1.16
Escherichia coli (2 344 souches): distribution des diamètres d'inhibition pour la gentamicine, souches isolées de bovins

Escherichia coli (2 344 strains): distribution of inhibition zone diameters for gentamicin; strains isolated from bovines (Réseau RESAPATH, 2007). Cf. Tableau 1.2

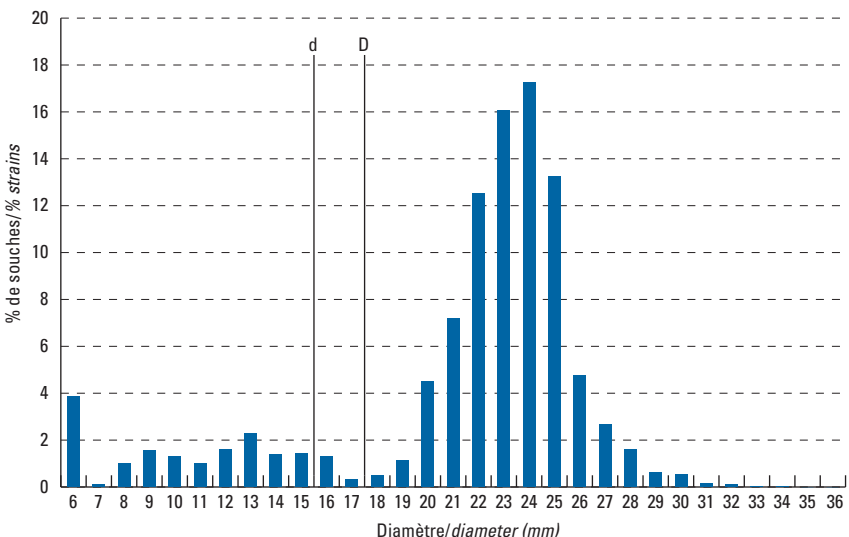


Figure 1.17
Escherichia coli (2 199 souches): distribution des diamètres d'inhibition pour l'enrofloxacine, souches isolées de bovins

Escherichia coli (2 199 strains): distribution of inhibition zone diameters for enrofloxacin; strains isolated from bovines (Réseau RESAPATH, 2007). Cf. Tableau 1.2

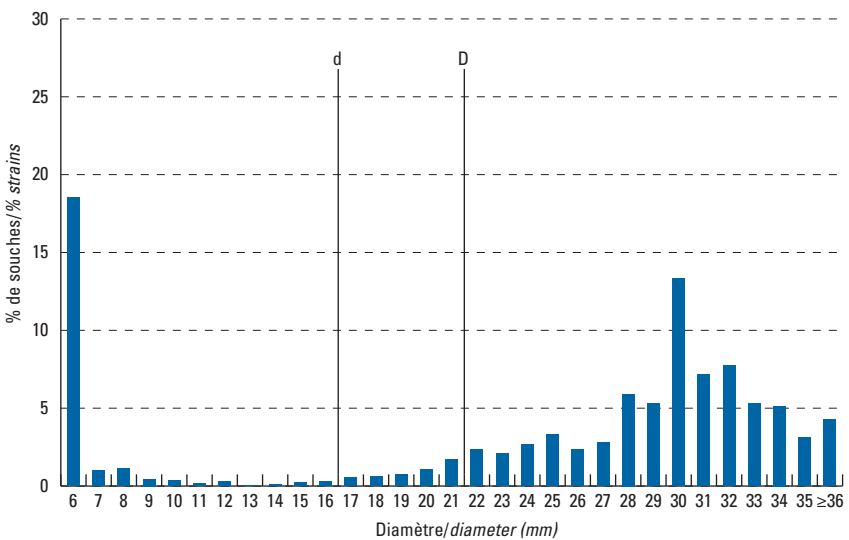


Figure 1.18
Streptococcus uberis (772 souches): distribution des diamètres d'inhibition pour l'érythromycine, souches isolées de bovins.

Streptococcus uberis (772 strains): distribution of inhibition zone diameters for erythromycin; strains isolated from bovines (Réseau RESAPATH, 2007). Cf. Tableau 1.3

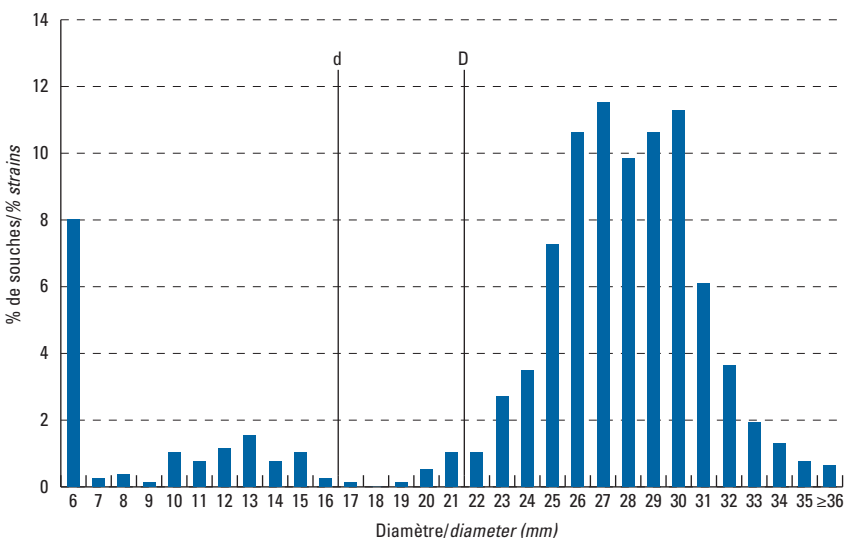


Figure 1.19
Streptococcus uberis (722 souches) :
 distribution des diamètres d'inhibition pour la lincomycine, souches isolées de bovins

Streptococcus uberis (722 strains): distribution of inhibition zone diameters for lincomycin; strains isolated from bovines (Réseau RESAPATH, 2007). Cf. Tableau 1.3

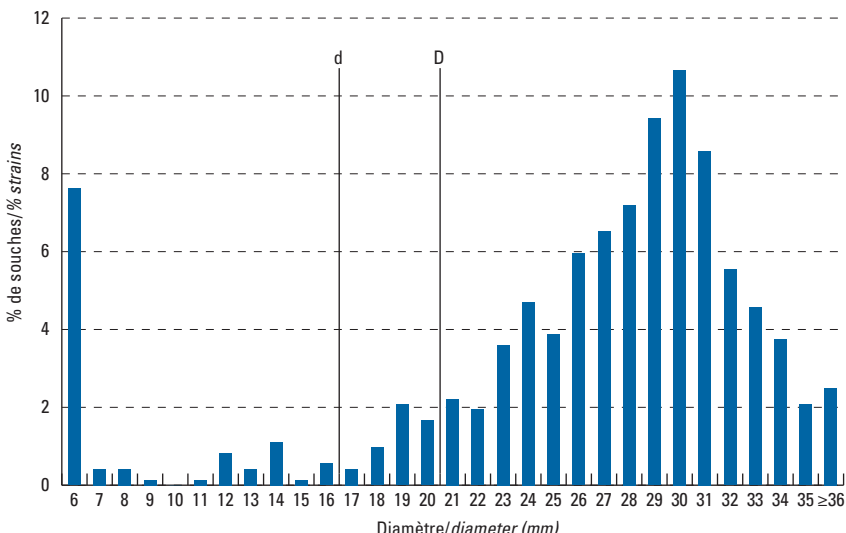


Figure 1.20
Streptococcus uberis (916 souches) :
 distribution des diamètres d'inhibition pour la spiramycine, souches isolées de bovins

Streptococcus uberis (916 strains): distribution of inhibition zone diameters for spiramycin; strains isolated from bovines (Réseau RESAPATH, 2007). Cf. Tableau 1.3

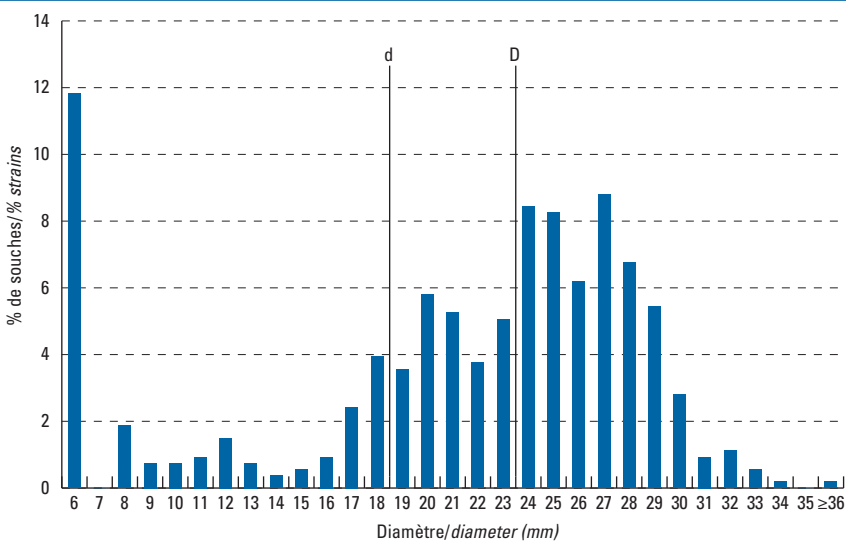


Figure 1.21
Streptococcus uberis (756 souches) :
 distribution des diamètres d'inhibition pour la tétracycline, souches isolées de bovins

Streptococcus uberis (756 strains): distribution of inhibition zone diameters for tetracycline; strains isolated from bovines (Réseau RESAPATH, 2007). Cf. Tableau 1.3

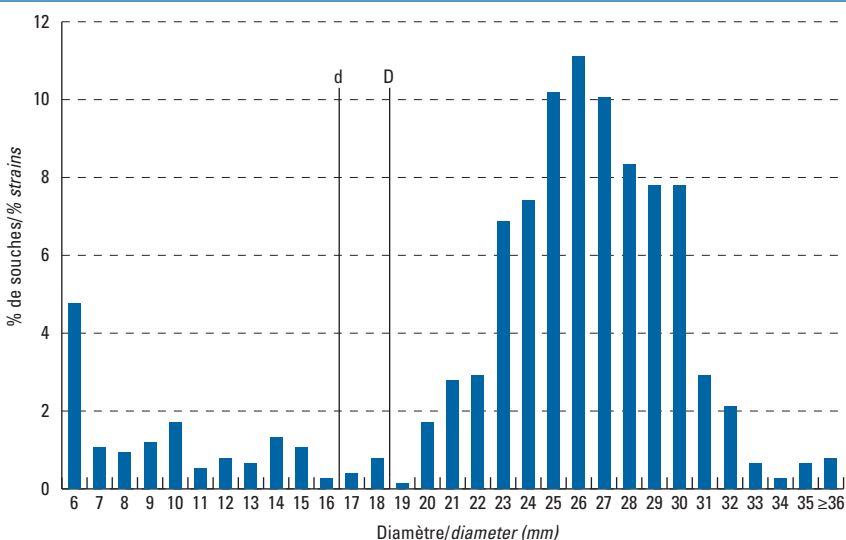


Tableau 1.1 - *Escherichia coli*: distribution des diamètres d'inhibition, souches responsables de bactériémies
Table 1.1 - Escherichia coli: distribution of inhibition zone diameters, strains isolated from bacteraemia (réseau Azay-résistance, 2007). Cf. Figures 1.1 à 1.12

| Souches Strains | Antibiotique Antibiotic | d < | D ≥ | Nombre de souches ayant un diamètre (mm) de : /Number of strains with a diameter (mm) of: | | | | | | | | | | | | | | | | | | | | | | | | | | | | | | | |
|----------------------------|----------------------------|--------|--------|---|---|---|----|----|----|----|----|----|----|----|----|----|----|----|----|-----|-----|-----|-----|----|-----|-----|-----|----|-----|-----|-----|-----|-----|----|-----|
| | | | | Total souches N strains | 6 | 7 | 8 | 9 | 10 | 11 | 12 | 13 | 14 | 15 | 16 | 17 | 18 | 19 | 20 | 21 | 22 | 23 | 24 | 25 | 26 | 27 | 28 | 29 | 30 | 31 | 32 | 33 | 34 | 35 | ≥36 |
| Amoxicilline | 14 | 21 | 893 | 509 | 2 | 1 | 3 | 3 | 2 | 1 | 1 | 1 | 3 | 5 | 23 | 27 | 35 | 61 | 59 | 48 | 31 | 20 | 21 | 7 | 8 | 5 | 3 | 11 | | | | | | | |
| Amoxicilline + clavulanate | 14 | 21 | 887 | 4 | | 7 | 10 | 17 | 21 | 15 | 17 | 21 | 44 | 31 | 36 | 47 | 71 | 86 | 92 | 96 | 87 | 55 | 48 | 25 | 20 | 13 | 7 | 2 | 2 | 9 | 2 | | | | |
| Céftaxime | 15 | 21 | 884 | 14 | | 3 | 2 | 4 | 3 | 3 | 2 | 1 | 2 | 3 | 2 | 3 | 1 | 1 | 4 | 4 | 3 | 2 | 9 | 9 | 28 | 35 | 47 | 69 | 100 | 119 | 95 | 208 | 108 | | |
| Imipénème | 17 | 22 | 874 | | | | | | | | | | | | | | | 1 | 3 | 13 | 8 | 18 | 44 | 92 | 139 | 143 | 135 | 89 | 45 | 24 | 99 | 21 | | | |
| Gentamicine | 16 | 18 | 884 | 16 | 1 | 4 | 12 | 6 | 4 | 1 | 2 | 3 | 2 | 2 | 2 | 4 | 20 | 45 | 60 | 100 | 141 | 140 | 135 | 78 | 49 | 26 | 22 | 4 | 1 | 2 | 1 | 1 | | | |
| Cotrimoxazole | 11 | 16 | 598 | 217 | 1 | 1 | 2 | 1 | 9 | 6 | 10 | 8 | 5 | 8 | 14 | 14 | 10 | 17 | 20 | 16 | 50 | 36 | 43 | 42 | 32 | 15 | 12 | 2 | 1 | 5 | | | | | |
| Ac. nalidixique | 15 | 20 | 553 | 136 | 1 | 2 | 2 | 2 | 1 | 1 | 1 | 1 | 1 | 4 | 10 | 15 | 35 | 43 | 59 | 57 | 84 | 38 | 24 | 20 | 8 | 2 | 2 | 1 | 1 | | | | | | |
| Ciprofloxacine | 19 | 22 | 886 | 83 | 7 | 6 | 13 | 4 | 5 | 3 | 1 | 1 | 1 | 2 | 1 | | 1 | 4 | 4 | 9 | 11 | 13 | 12 | 15 | 30 | 47 | 44 | 29 | 45 | 46 | 155 | 294 | | | |
| Sac. nalidixique | 22 | 25 | 398 | | | | | | | | | | | | | | | | | | 1 | 2 | 4 | 6 | 13 | 26 | 19 | 9 | 16 | 17 | 118 | 167 | | | |
| Rac. nalidixique | 19 | 22 | 149 | 70 | 6 | 4 | 11 | 3 | 1 | 1 | 1 | | | | | | | 3 | 4 | 8 | 10 | 3 | 3 | 6 | 3 | 2 | 2 | 3 | 1 | | | | | | |
| S Amoxicilline | 14 | 21 | 326 | | | | | | | | | | | | | | | | | | 36 | 38 | 48 | 53 | 45 | 33 | 24 | 18 | 13 | 6 | 1 | 2 | 2 | 7 | |
| R Amoxicilline | 14 | 21 | 546 | 4 | | 7 | 10 | 17 | 21 | 15 | 17 | 21 | 44 | 31 | 36 | 46 | 68 | 46 | 53 | 46 | 32 | 10 | 15 | 1 | 2 | 1 | 1 | 1 | 2 | 2 | | | | | |

S: sensible/susceptible - R: résistant/resistant

Tableau 1.2 - *Escherichia coli*: distribution des diamètres d'inhibition, tous prélevements chez les bovins
Table 1.2 - Escherichia coli: distribution of inhibition zone diameters, strains isolated from bovines (réseau RESAPATH, 2007). Cf. Figures 1.13 à 1.17

| Souches Strains | Antibiotique/ Antibiotic | Nombre de souches ayant un diamètre (mm) de : | | | | | | | | | | | | | | | /Number of strains with a diameter (mm) of: | | | | | | | | | | | | | | | | | | | |
|----------------------------|-------------------------------------|--|----------|--------------|----|----------------|------------------|----------|----------|----------|----------|-----------|-----------|-----------|-----------|-----------|--|-----------|-----------|-----------|-----------|-----------|-----------|-----------|-----------|-----------|-----------|-----------|-----------|-----------|-----------|-----------|-----------|-----------|-----------|-----------|
| | | d | D | Total | | souches | N strains | 6 | 7 | 8 | 9 | 10 | 11 | 12 | 13 | 14 | 15 | 16 | 17 | 18 | 19 | 20 | 21 | 22 | 23 | 24 | 25 | 26 | 27 | 28 | 29 | 30 | 31 | 32 | 33 | 34 |
| Amoxicilline | 14 | 21 | 1827 | 1170 | 34 | 9 | 13 | 7 | 6 | 9 | 1 | 1 | 12 | 14 | 18 | 9 | 16 | 17 | 32 | 53 | 63 | 68 | 63 | 75 | 53 | 39 | 14 | 15 | 6 | 0 | 3 | 0 | 2 | 5 | | |
| Amoxicilline + clavulanate | 14 | 21 | 2227 | 111 | 14 | 22 | 46 | 59 | 63 | 67 | 63 | 54 | 87 | 72 | 100 | 109 | 123 | 166 | 181 | 235 | 157 | 139 | 134 | 99 | 53 | 30 | 15 | 14 | 10 | 3 | 0 | 0 | 0 | 1 | | |
| Toutes/All | | | | | | | | | | | | | | | | | | | | | | | | | | | | | | | | | | | | |
| Céftiofur | 18 | 21 | 2198 | 4 | 0 | 4 | 2 | 1 | 4 | 9 | 10 | 8 | 5 | 5 | 3 | 7 | 7 | 8 | 11 | 19 | 30 | 67 | 141 | 216 | 306 | 355 | 281 | 384 | 126 | 95 | 42 | 28 | 11 | 9 | | |
| Gentamicine | 16 | 18 | 2344 | 90 | 2 | 24 | 36 | 31 | 24 | 37 | 54 | 32 | 34 | 31 | 8 | 12 | 26 | 105 | 168 | 294 | 377 | 404 | 310 | 111 | 62 | 38 | 14 | 13 | 3 | 2 | 1 | 1 | 0 | 0 | 0 | |
| Enrofloxacine | 17 | 22 | 2199 | 408 | 22 | 25 | 10 | 8 | 3 | 6 | 1 | 2 | 5 | 7 | 12 | 13 | 17 | 23 | 37 | 51 | 46 | 58 | 73 | 52 | 61 | 130 | 117 | 293 | 157 | 170 | 117 | 113 | 68 | 94 | | |

Tableau 1.3 - *Streptococcus uberis*: distribution des diamètres d'inhibition, tous prélevements chez les bovins
Table 1.3 - Streptococcus uberis: distribution of inhibition zone diameters, strains isolated from bovines (réseau RESAPATH, 2007). Cf. Figures 1.18 à 1.21

| Souches Strains | Antibiotique/ Antibiotic | Nombre de souches ayant un diamètre (mm) de : | | | | | | | | | | | | | | | /Number of strains with a diameter (mm) of: | | | | | | | | | | | | | | | | | | | |
|----------------------------|-------------------------------------|--|----------|--------------|---|----------------|------------------|----------|----------|----------|----------|-----------|-----------|-----------|-----------|-----------|--|-----------|-----------|-----------|-----------|-----------|-----------|-----------|-----------|-----------|-----------|-----------|-----------|-----------|-----------|-----------|-----------|-----------|-----------|-----------|
| | | d | D | Total | | souches | N strains | 6 | 7 | 8 | 9 | 10 | 11 | 12 | 13 | 14 | 15 | 16 | 17 | 18 | 19 | 20 | 21 | 22 | 23 | 24 | 25 | 26 | 27 | 28 | 29 | 30 | 31 | 32 | 33 | 34 |
| Erythromycine | 17 | 22 | 772 | 62 | 2 | 3 | 1 | 8 | 6 | 9 | 12 | 6 | 8 | 2 | 1 | 0 | 1 | 4 | 8 | 8 | 21 | 27 | 56 | 82 | 89 | 76 | 82 | 87 | 47 | 28 | 15 | 10 | 6 | 5 | | |
| Lincomycine | 17 | 21 | 722 | 55 | 3 | 3 | 1 | 0 | 1 | 6 | 3 | 8 | 1 | 4 | 3 | 7 | 15 | 12 | 16 | 14 | 26 | 34 | 28 | 43 | 47 | 52 | 68 | 77 | 62 | 40 | 33 | 27 | 15 | 18 | | |
| Toutes/All | | | | | | | | | | | | | | | | | | | | | | | | | | | | | | | | | | | | |
| Spiramycine | 19 | 24 | 916 | 76 | 5 | 1 | 10 | 17 | 11 | 13 | 6 | 7 | 4 | 11 | 13 | 21 | 28 | 51 | 44 | 52 | 58 | 71 | 75 | 75 | 73 | 42 | 34 | 25 | 15 | 6 | 4 | 1 | 3 | | | |
| Tétracycline | 17 | 19 | 756 | 36 | 8 | 7 | 9 | 13 | 4 | 6 | 5 | 10 | 8 | 2 | 3 | 6 | 1 | 13 | 21 | 22 | 52 | 56 | 77 | 84 | 76 | 63 | 59 | 59 | 22 | 16 | 5 | 2 | 5 | 6 | | |

Notes